

調頻調場式電子順磁共振波譜儀^{* 1)}

董 太 乾
(北京大学无线电系)

提 要

本文敘述一種新型的電子順磁共振波譜儀。它的特點是採用了調頻調場結合的方法，因而簡化了結構。又由於利用了魔T平衡調節，並給微波晶体二極管加正偏壓，使得它的噪聲降低到接近熱噪聲的水平，同時提高了檢波效率，因而獲得了較高的靈敏度。在示波器上可以觀察到 5×10^{-9} 克分子 DPPH 的訊號，訊號噪聲比為 2:1。儀器的工作頻率是 9690 Mc/s。

一、引 言

初期的電子順磁共振波譜儀接收和顯示訊號的方法是在微波檢波晶体後面連接一個靈敏電流計^[1]。觀察不同磁場強度下檢波電流的變化就可以得到樣品的順磁共振線形。但由於穩定性不好，所以靈敏度不高。為了提高靈敏度和便於觀察，後來多採用低頻大調場的方法^[2]，順磁共振訊號經過低頻放大，然後顯示在示波器上，這種波譜儀的靈敏度較用靈敏電流計來觀察訊號的波譜儀高，約為 10^{-7} — 10^{-8} （單位是克分子固體 DPPH）。但是，微波檢波晶体的低頻閃爍噪聲遠較放大器的噪聲大，它限制了這種波譜儀的靈敏度。為了適應需要高靈敏度的研究工作的需要，必須避免微波檢波晶体的低頻閃爍噪聲。目前應用得最廣泛的高靈敏度波譜儀是高頻小調場式^[3]和外差式^[4]，在這兩種波譜儀中，由於用了高頻接收系統，避免了較大的微波檢波晶体的閃爍噪聲，因而獲得高的靈敏度。在與低頻大調場式波譜儀同樣的輸出頻帶寬度下，在示波器上觀察訊號，靈敏度是 10^{-8} — 10^{-10} 。如果減小輸出頻帶寬度，用電子電位自動記錄儀記錄訊號，靈敏度可提高到 10^{-10} — 10^{-12} 。

上述各種波譜儀都是保持頻率不變的，所以為了穩定的工作，必須採用穩頻裝置，這使得波譜儀的結構變得較複雜。另外高頻小調場式波譜儀中的高頻調場系統和外差式波譜儀中的外差系統也都是比較複雜的。

當然，也可以保持磁場不變，而對微波頻率加以調制，以得到順磁共振線形。但是，由於一般波譜儀中總是把被測樣品放在諧振腔中，而順磁共振的譜線寬度一般也大於樣品諧振腔的諧振頻寬，所以如果不採取特殊的措施，一般不能觀察到整個順磁共振線形。有人曾用某些複雜的平衡裝置，製成了調頻式的波譜儀^[5]。A. C. Pose-Innes^[6]用了 50 c/s 調頻，不需要複雜的微波平衡裝置，製成了較高靈敏度的波譜儀。為了避免微波檢波晶体的低頻閃爍噪聲，他採用了外差接收系統。由於調頻式波譜儀不需要穩頻，所以部分地簡化了波譜儀的結構。

* 1962年3月3日收到。

1) 本文的簡報登載在物理學報，19(1963), 407.

應該指出：在調頻時，由於樣品諧振腔在諧振頻率附近吸收較大的微波功率，所以如果沒有精密的微波平衡裝置，調頻的結果必然使得輸到微波檢波晶體上的微波功率有很大的調制，這樣，微波檢波晶體就會產生很大的調制噪聲^[7]。在這種調制噪聲中，強度最大的頻譜分量正好在調制頻率附近。所以在調頻式的波譜儀中，若不用外差接收來改變接收系統的通頻帶位置，而在調制頻率上直接接收，那麼即使提高調制頻率以避免微波檢波晶體的低頻閃爍噪聲，也仍然不能減小微波檢波晶體的噪聲而獲得較高的靈敏度。

本文所敘述的調頻調場式波譜儀，是在 A. C. Pose-Innes^[6] 所敘述的調頻式波譜儀的基礎上，加以進一步的改進，利用調頻調場結合起來的方法，既不需要穩頻系統，也不需要外差接收系統，大大簡化了波譜儀的結構。並且由於利用了魔 T 的平衡調節以及給微波檢波晶體加直流正偏壓，可以使得微波檢波晶體的噪聲降低到接近熱噪聲的水平，同時提高了它的檢波效率，從而在用直接接收的情況下，仍然獲得較高的靈敏度。

二、儀器原理

儀器的方塊圖與微波系統如圖 1 所示。在微波系統中，由調速管振蕩產生的微波功率，經過隔離器和可變衰減器均勻地分配到魔 T 的臂 2、臂 3 中。魔 T 起微波平衡橋的作用。在它的臂 3 中連接樣品諧振腔，諧振腔放在磁鐵二級中間。臂 2 中連接一個單可變插銷和全匹配器。調節單可變插銷的插入深度可以改變該臂反射波的振幅，當插銷全部拔出波導時，反射波振幅等於零；當插銷插入深度逐漸增加時，反射波振幅也逐漸增加；最後當插銷全部插入波導時，可獲得全反射。調節單可變插銷在波導上的位置可以改變該臂反射波的位相。所以只要適當調節單可變插銷的插入深度和它在波導上的位置，就可以起調節平衡的作用。

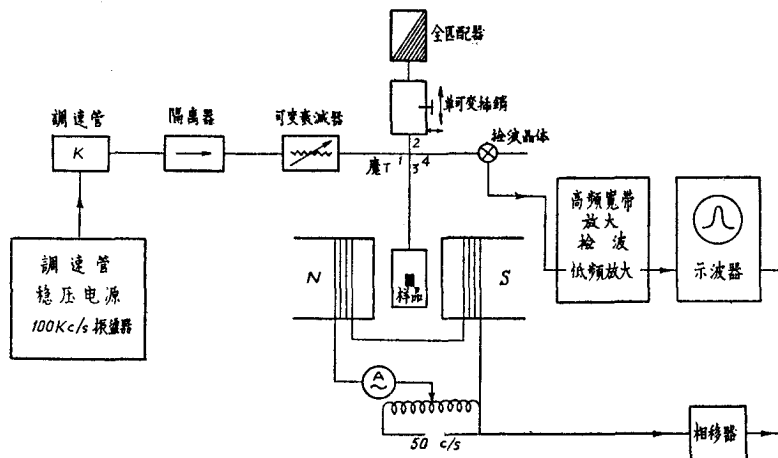


圖 1 儀器微波系統與方塊圖（直流磁場線圈與電源未畫出）

當單可變插銷全部拔出波導時，臂 2 反射波振幅等於零，這時，輸到微波檢波晶體上的微波功率完全決定於臂 3 的反射功率。若在調速管的反射極上加一個正弦波調制電壓，則在微波檢波晶體輸出端就可以得到如圖 2.1 所示的波形，圖中間向下凹處是樣品諧振腔的諧振曲線。減小調制電壓並調節反射極的直流電壓，使得調制電壓正好能掃過諧

振腔的諧振頻率，就得到如图 2.2 所示的脉冲波形。如果样品諧振腔采用欠耦合^[8]，即諧振腔的外品質因數 Q_e 大于它的無載品質因數 Q_0 ，則當順磁共振發生時，由於共振吸收使 Q_0 減小，因而反射功率增加，相當於脈冲幅值減小，得到如圖 2.3 所示的波形（若採用過耦合，即 $Q_0 > Q_e$ ，則共振時脈冲幅值增加）。如果反射極調制電壓的頻率用 100 Kc/s，而示波器的橫向掃描頻率很低（譬如 50 c/s），那麼在沒有順磁共振時就能在示波器上看到如圖 2.4 所示的波形。再在直流磁場上加上一個 50 c/s 的大調場，其磁場調制範圍大於共振線寬，則當直流磁場調到共振值附近時，在示波器上便可看到圖 2.5 的波形，中間向上凹處就是順磁共振訊號。

按圖 1 所示的儀器方塊圖，將上述如圖 2.5 所示的訊號經過高頻寬帶放大器放大，用真空二極管作脈冲幅值檢波（若用晶體二極管作脈冲幅值檢波，則由於晶體二極管本身的噪音較大，會使儀器靈敏度降低一些），再經過低頻放大，就能在示波器上看到我們所要觀測的順磁共振吸收線形，如圖 2.6 所示。

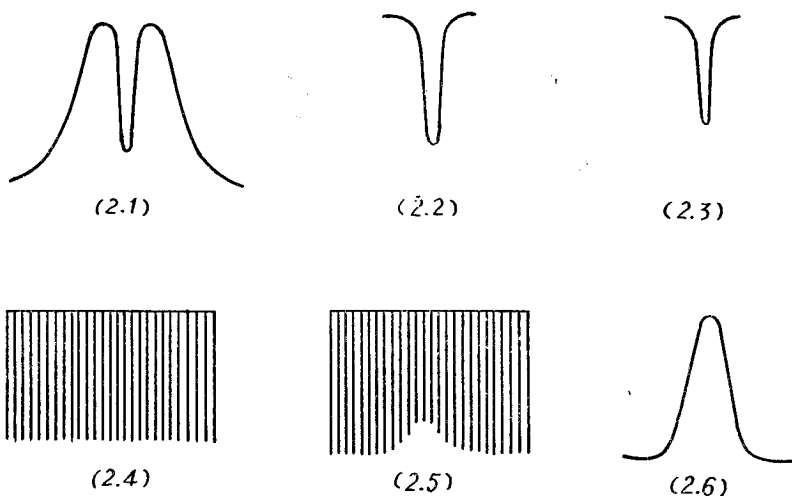


圖 2 當反射極電壓有不同調制時得到的各種波形

由上所述可以看出：用調頻代替了一般調場波譜儀中的穩頻，用直接接收代替了 A. C. Pose-Innes^[6] 的波譜儀中的外差接收，同樣可以在示波器上觀測到整個順磁共振吸收線形，而儀器的結構却因此大大簡化。

但是，如果按上述方法來調節儀器，雖然能夠觀察到順磁共振吸收線形，由於加到微波檢波晶體上的微波功率幅度變化很大，因而微波檢波晶體產生很大的調制噪音，所以靈敏度是不高的。實驗結果表明，這時儀器的靈敏度最多與普通低頻大調場波譜儀相等，有時甚至還要小一些。

當振幅有調制的微波功率加到微波檢波晶體上時，它產生的噪音功率為^[7]

$$P_N = \left(KT + \frac{c_1 I^2}{v} + \frac{c_2 I^2}{v - v_m} \right) \Delta v.$$

其中等式右邊括號內第一項是熱噪音，第二項相當於微波功率無調制時的閃爍噪音，第三項是由於微波功率調制而引起的調制噪音， I 是流過微波檢波晶體的檢波電流， v 是輸出

頻率, ν_m 是微波功率的調制頻率, $\Delta\nu$ 是頻帶寬度, K 是玻耳茲曼常數, T 是絕對溫度, c_1 , c_2 二個系數的大小隨着微波功率的調制度不同而改變, 當調制度大時, c_2 值增加, c_1 值減小, 反之, c_2 值減小, c_1 值增加。在利用上述儀器的調節方法時, 由於調制度很大, 另外應用了高頻接收, ν 較大而 $\nu - \nu_m$ 很小, 所以第三項起主要作用。

如果採用以下二個辦法就可以降低調制噪音並且可以提高微波檢波晶體的檢波效率。

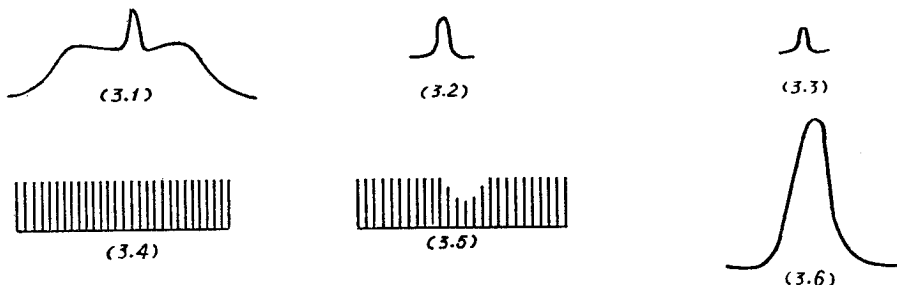


圖 3 利用魔 T 适当調節後所得到的相應於圖 2 的各個波形

1. 利用魔 T 臂 2 中單可變插銷的適當調節, 可以把圖 2.1 的波形變到如圖 3.1 所示的波形, 中間向上凸起的部分是樣品諧振腔諧振曲線的端點。這時, 再減小反射極上的調制電壓就得到如圖 3.2 所示的脈衝波形, 其中脈衝幅值需要調到多大與微波檢波晶體的性能有關, 對調制噪音大的檢波晶體, 應該尽可能使得脈衝幅值小一些, 對調制噪音小的檢波晶體, 可以使脈衝幅值大一些; 不過為了保持後面用作脈衝幅值檢波的二極管工作在直線性區域, 脈衝幅值也不宜過小, 實驗結果表明, 脈衝幅值為 30—50 mV 時最好。同樣在示波器上也可以看到相應於圖 2.3, 2.4, 2.5, 2.6 的波形圖 3.3, 3.4, 3.5, 3.6。這樣調節後, 輸到微波檢波晶體上的微波功率的調制度減小了, 因為相應於圖 2.2 的微波波形如圖 4.1 所示, 而相應於圖 3.2 的微波波形如圖 4.2 所示。顯然, 後者的調制度小於前者, 因而微波檢波晶體的調制噪音可以得到降低。

2. 在微波檢波晶體上加上一個大小約 0.2—0.3 V 的直流正向偏壓。因為高頻寬帶放大器的前級輸入是採用 RC 耦合, 所以微波檢波晶體對直流電流實際上是斷路的, 因而當微波功率加上以後, 就在微波檢波晶體上形成了一個負向偏壓, 這個負偏壓能使微波檢波晶體的檢波效率降低, 同時增加噪音。所以若再外加一個正向偏壓, 不但把負偏壓抵消, 而且使微波檢波晶體的工作點移至它的 I—V 特性曲線原點的右邊, 這樣, 就可以使它的檢波效率提高, 噪音降低^[9]。對有的微波檢波晶體, 當它被加上正偏壓後, 檢波效率增加了, 但同時噪音也增加, 但只要適當挑選微波檢波晶體, 就可以既使得檢波效率有所提高, 又可以降低噪音。(若把這種加正向偏壓的方法用到普通的低頻大調場波譜儀

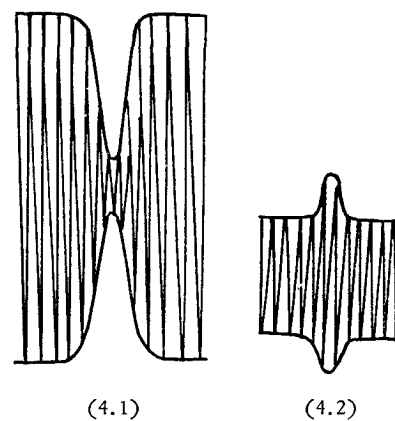


圖 4 不同的魔 T 調節方法所對應的微波波形

中,也可以得到好的效果,实验表明,它可以使得普通低频大调场波谱仪的灵敏度提高约5倍^[10]。)

三、电子线路与实验结果

样品谐振腔为圆柱形腔,激发在 H_{01} 波型,如图 5 所示。直径为 4.2cm,高度可变,在

4.0 cm 附近。它的无载品质因数 Q_0 约为 10000。样品放在石英管(或玻璃管)中,石英管放在腔的轴线上,样品正处在腔的中央,因为此处微波场强最大。全部接收系统的电子线路如图 6 所示。图中用虚线围起来的部分是给微波检波晶体加直流正偏压的装置。正偏压取自调速管反射极电压。正偏压数值约为 0.2—0.3V,不宜过大,以免烧坏微波检波晶体。(图中所示的元件数值相应于反射极电压是 -90V;如果所用反射极电压数值不同,则相应的电阻值也需适当改变。)

高频宽带放大器共 2 级,增益 45。因为调速管反射极上调制电压的频率是 100 Kc/s,所以微波检

波晶体输出脉冲的重复频率是 200 Kc/s。为了使得高频宽带放大器能不失真地放大脉冲,它的频带宽采用 150 Kc/s—4 Mc/s;又为了降低电子管噪声,放大管 6K4 用三极接法,并在低板压工作,板压 60 V。

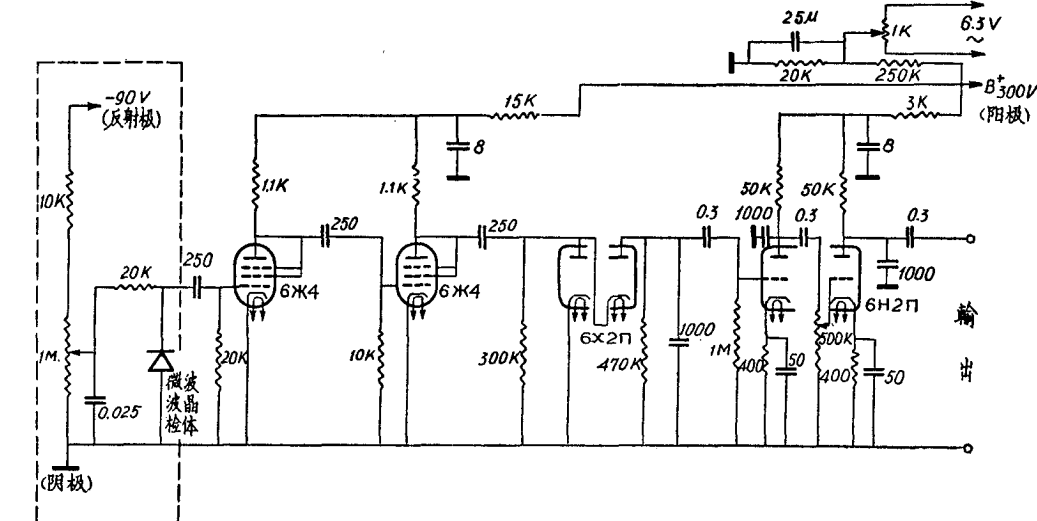


图 5 样品谐振腔示意图

为了提高脉冲幅值检波的效率,使讯号不损失,采用了二极管箝位与检波相结合的线路,这样检波效率接近 100%。

低频放大器用一双三管 6H2Π 制成,增益 1400,带宽为 20 c/s—3 Kc/s。

接收系統中電子管的燈絲可用交流供電，圖6中在右上角画出了去除因为燈絲用交流供電引起的50c/s干擾的裝置。只要有適當的屏蔽，接收系統的50c/s干擾可以完全去除。接收系統中燈絲所需的交流供電源和高壓直流供電源都由調速管穩壓电源中的陽極电源供給。100Kc/s振蕩器與調速管穩壓电源裝在一起，它的高壓也由陽極电源供給，調速管的陰極接地。調速管的燈絲用直流電池供電，若用交流供電，能在接收系統中引起比噪音略大的50c/s干擾。

為了便於調節，在反射壓上加調制电压處裝置一開關，使得能夠加上100Kc/s或者50c/s的調制电压。在開始調節樣品諧振腔的諧振頻率至調速管的振蕩中心頻率處時（如圖2.1），可先用50c/s調制电压，調好以後，再改用100Kc/s調制电压，然後就可以觀測訊號。工作時，反射極上的100Kc/s調制电压的峯-峯值約3V，掃過的微波頻率範圍約為樣品諧振腔諧振頻寬的4—5倍。實驗結果表明，這種順磁共振波譜儀具有較高的靈敏度，可以在示波器上觀察到 5×10^{-9} 克分子固体DPPH樣品的順磁共振吸收訊號，如圖7所示，訊噪比為2:1，所用樣品是用固体DPPH摻以CaCO₃製成的，曾制备过不同浓度DPPH的样品，所得結果相近。

如果採用如圖2的調節方法，同時也不在微波檢波晶体上加直流正向偏壓，則靈敏度約降低5—10倍。

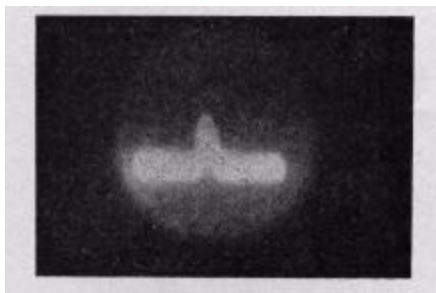


图7 固体DPPH样品的顺磁共振信号

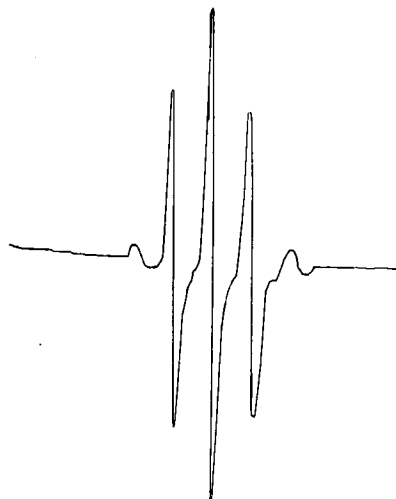


图8 半醌(semiquinon)的酒精溶液的超精细结构(KOH作催化剂)

若改用低頻小調場，即調場幅度小於順磁共振線寬，接收系統中的低頻放大改用調場頻率的低頻選頻放大器，然後再連接相檢波器，在電子電位自動記錄儀上紀錄訊號的微商線形，輸出帶寬減小至0.1c/s，則觀察到了 5×10^{-11} 克分子固体DPPH的順磁共振訊號，訊號噪音比也為2:1。圖8所示為半醌在酒精溶液中順磁共振吸收訊號超精細結構的微商線形。

實驗結果表明，這種波譜儀也具有足夠好的穩定性。因為採用了調頻，調制电压約為3V，所以反射極直流電壓的微小不穩定，和調速管工作頻率由於其他因素引起的微小不穩定，或者樣品諧振腔的諧振頻率有微小的不穩定，都只能引起微波檢波晶体輸出脈沖之間的相對距離有微小的改變，而脈沖幅值檢波對這種改變是反映不出來的，所以並不影響整個儀器穩定的工作。當交流供電電壓在190—220V間變化時，可以不需要交流穩壓器而能穩定地工作。

在這種波譜儀中，由於觀察到的順磁共振訊號是由脈沖幅值變化所引起的，也就是說

是由样品谐振腔 Q_0 值的降低所引起的, 所以观察到的是纯吸收讯号。色散讯号只能引起样品谐振腔的谐振频率的微小改变, 由上所述可知, 这只相当于微波检波晶体输出脉冲之间的相对距离有微小改变, 因而在最后显示不出来。

四、結 論

1. 这种顺磁共振波谱仪的主要特点在于采用了新的调频调场相结合的方法, 使波谱仪的结构大大简化:

(1) 由于采用了调频的方法, 避免了高頻小調場式和外差式, 低頻大調場式波譜仪中所必需的稳頻系統。

(2) 由于采用了低頻調場, 所以調場系統比高頻小調場式波譜仪中的調場系統简单得多, 在高頻小調場式波譜仪中, 因为增加調場幅度較困难, 所以不适宜于測量寬的順磁共振綫。而这种波譜仪不存在此問題, 既可用于測量窄綫, 也可用于測量寬綫(当然, 外差式和低頻大調場式波譜仪也不存在这問題)。

(3) 由于采用了直接接收, 所以比起外差式波譜仪和 A. C. Pose-Innes^[6] 的波譜仪来, 简化了接收系統。当在示波器上观测訊号时, 这种波譜仪全部接收系統只用了 4 个电子管; 而且由于高頻寬帶放大器和低頻放大器各自的增益都不高, 所以制作較方便, 仪器調試时很少发生寄生振蕩。

2. 由于采用了魔 T 的特殊的平衡调节, 并給微波检波晶体加直流正向偏压, 所以降低了微波检波晶体的噪声和提高了检波效率, 从而得到了与高頻小調場式和外差式波譜仪相接近的灵敏度。采取了上述方法后, 微波检波晶体对噪声的貢献与热噪声、电子管噪声的貢献差不多相同。

3. 由于采用了调频, 仪器的稳定性足够好。

在测定仪器灵敏度的过程中, 承蒙中国医学科学院的同志們制备了以 CaCO_3 冲淡的 DPPH 标准样品, 在记录半醌的譜綫工作中也得到了他們的大力协助, 特此表示感謝。

参 考 文 献

- [1] Bleaney, D. M. S. and Griffiths, J. H. E., *Nature*, **160** (1947), 532.
- [2] Bleaney, B. and Ingronn, D. J. E., *Nature*, **164** (1949), 116.
- [3] Buckmaster, H. A. & Scovil, H. E. D., *Can. J. Phys.*, **34** (1956), 711. Семенов, А. Г., Бубнов, И. И., *И.Т.Э.*, 1959, 1, стр. 92.
- [4] England, T. S. & Schneider, E. F., *Nature*, **437** (1956), 166.
- [5] Bagguley, D. M. S. & Griffiths, J. H. E., *Proc. Phys. Soc.*, **A 65** (1952), 594.
- [6] Pose-Innes, A. C., *J. S. I.*, **34** (1957), 276.
- [7] Townes & Schowlaw, *Microwave Spectroscopy*, McGraw-Hill, 1955, p. 408.
- [8] Feher, G., *B. S. T. J.*, **36** (1957), 449.
- [9] Pound, R. V., *Microwave Mixer*. M. I. T. Radiation Lab. Series 16 McGraw-Hill p. 250.
- [10] 董太乾, 北京大学科学报告: 高灵敏度的低頻大調場順磁共振波譜仪, 1962 年。

ELECTRONIC PARAMAGNETIC RESONANCE SPECTROGRAPH WITH FREQUENCY AND MAGNETIC FIELD MODULATION

TUONG TAI-CHIAN

ABSTRACT

This paper presents a new spectrograph of electronic paramagnetic resonance. Its character is the application of combined frequency and magnetic field modulation. Therefore the structure is simplified. Because the balance adjustment of magic tee is used and a positive voltage is added on the microwave crystal diode, its noise is then reduced near the level of thermal noise. The signal of 5×10^{-9} M. DPPH may be observed on the oscillosograph. The ratio of signal to noise is 2:1. The operation frequency is 9690 Mc/s.